

Up - Ry, Ry, Pg,  
Cs, Tr, Pt

B9P-1630-vi | 1936

Mn Pd

Grube B., Bayer K.,  
Bumm H.,

(Tm)

"Z. Elektrochem", 1936,  
42, 805 - 815.

VII 1371

1954

PdMn<sub>x</sub>

(T<sub>tr</sub>, крист. стр-па)

Raub Ernst, Mahler Werner

Z. Metallkunde, 1954, 45, N 7, 430-436

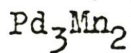
"Die Palladium-Mangan-Legierungen".

Б. А. М.

PX, 1955, 35207

VII 3065

1959



(T<sub>tr</sub>)

Burger J.P., Wendling R., Wucher J.

J. phys. et. radium, 1959, N 20, N 2-3

427-429. Discuss 429

" Antiferromagnetisme de l'alliage Pd<sub>3</sub>Mn<sub>2</sub>

Б, Au ЕСТЬ в. н.

PM, 1960, 1340

VII 1728

1963

MnRh ( $T_{tr}$  Крист.стр-ра)

Kon<sup>u</sup>vel J.S., Hartelins C.C., Osika L.M.

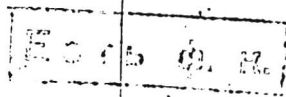
J. Appl. Phys, 1963, 34, N 4, Part 2,  
1095-1096

"Magnetic properties and crystal-structure  
transformation of the ordered alloy. H.  
(MnRh)".

PM, 1963, 10U54 5, Au, Me

Pd<sub>1</sub>lln; Pd<sub>2</sub>1lln 11      Kraci-cip-pa, Tec  
VII 3914    1964

Kjekshus et., Møllerud R., vugdeleser  
J.F., Pearson W.B.,  
Philos. Mag. 1964, 16, N 143,  
1063-1083



Ref 1968

B, Au, Hg

Pt. II. x Красн. спр-ра 1967  
vii 4051

Сидоров С. К., будущий С. П.,

Одн. местанов 4 местами обезгум.

1967, 24, N5, 859

Р. II 1967

Иль

Pd - Mn [B9 - 6835 - VI] 1968

Humble S.G.

Arkin fig.

1968, 37 581-83

Lattice parameters of some  
dilute Pd and PdH based  
alloys of  Cr, Mn, Fe.

VII 6003

Mu, Rd<sub>y</sub>

?

Ttz

1969

Рабзелев М.Н., Збогоренова О.Н.

\* Укр. гон. № 1969, 14, в/д, 1698-1701

(реж. ани).

Появление нередко в употребленных  
смешах синтетик. Mu-Rd.



A1

PM, 1970, 3460

Pt-Mn 86

7 VII 6115

1970  
Krus. сп-ро,  $T_{t_2}$  (?)

Masumoto Makaru, Watanabe Kiyoshi.

, # Trans. Jap. Inst. Metals; 1970, II,  
n 6, 385-390 (арм.).

О мартиновых сплавах никеля и сплавах  
никеля с соединениями тунна C16 в аустените  
Pt-Mn-86

○ Al, Mn 8

(d)

PM, 1971, 7 U248

(Mn Pd<sub>x</sub>)  
сплавы

1970

10 E1408. Наблюдение резкой аномалии теплоемкости разбавленных сплавов Pd—Mn и влияние сильных магнитных полей. Boerstoel B. M., Zwart J. J., Baarle C. van. Observation of a sharp transition in the specific heat of dilute Pd—Mn alloys and the influence of large magnetic fields. «Phys. Letters», 1970, A 31, № 7, 378—379 (англ.)

Теплоемкость 5 образцов сплавов Pd—Mn с концентрациями Mn 0,08—2,45 ат.% измерена при температурах 1,2—25° К в магн. полях 0—27 кэ. На кривых  $\Delta c = f(T)$ , где  $\Delta c$  — разница между  $c$  сплавов и чистого Pd наблюдается резкий пик при  $\sim 2^{\circ}$  К (при  $H=0$ ). Во внешних полях максимумы более широкие и близки к рассчитанным на основе модели молекулярного поля. Эти результаты существенно отличают сплавы Pd—Mn от сплавов Pd—Co и Pt—Co. А. К. Киконин

окт. 1970. 108

Mn Pd<sub>x</sub>  
Сплавы 1970  
9 E1288. Анализ максимума теплоемкости в двух разбавленных ферромагнитных сплавах Pd—Mn. В. о. г. —  
s t o c l B. M. Wielinga R. F. Analysis of the specific heat cusp of two dilute ferromagnetic Pd—Mn alloys.  
«Phys. Letters», 1970, A31, № 7, 359—360 (англ.).

Исследована теплоемкость двух ферромагн. сплавов Pd—Mn, содержащих 0,54 и 1,35 ат.% Mn. Вблизи т-ры Кюри теплоемкость может быть описана соотношением:

$$c_m = Q_{\pm} P_{\pm} (1 - \varepsilon_{\pm}^{-\alpha_{\pm}}) / \alpha_{\pm},$$

где  $\varepsilon = 1 - (T_c/T)^{\pm 1}$ , а знаки  $\pm$  относятся к областям выше и ниже т-ры Кюри. Для сплава с 1,35 ат.% Mn получены след. данные:  $\alpha_- = -1,3592$ ;  $P_- = -146,31$ ;  $Q_- = 0,876$ ;  $\alpha_+ = -0,2008$ ;  $P_+ = -23,44$ ;  $Q_+ = 21,48$  ( $Q$  и  $P$  в мдж/г·атом Pd×град). Для сплава с 0,54 ат.% Mn точность определения параметров невелика, однако теплоемкость обоих сплавов может быть описана одним набором параметров.

Р. З. Левитин

9. 1970. 99

Pt.Mn88

7

VII 5991

1970

T<sub>t2</sub> ГСнес. ср-ва

Масымова Хасаны, Васанды Күйес

"Нусса кунгозсыз тәжкайсы, J. Jap. Inst. metals  
1970, 34, № 6, 638-42 (ян.)

О маанис ишх сб-лас ишкөр соғынчылар  
Pt.Mn88 тұна Cl<sub>6</sub>.

○ Al Mn

Si, 1970, 124292

Pd. Mu Ge; Pd. Mu Su, Cuz Mu In; Callu S. 7-19-70

VIL 5898

T<sub>t2</sub>, xpus. esp-pgs

Notera li. G, Murthy N. R. L. N., Begum  
R. J., Satya Murthy N. S.  
Phys. status solidi (a)<sup>+</sup>, 1970, 3, 14,  
959-964 (ann. ref. prakr.)

Библиография на научных конференциях  
и выставках в Киргизии и Павлодаре,  
Казахстане и Киргизии в  
Callu S.

VII, 1971, 41284. ○ A1. 10

VII 5940

1970

Pt MnSb, Pt MnSn,

z

T<sub>μ</sub>s.c.p.-fa,

T<sub>t2</sub>

Watanabe Kiyoshi

+ J. Phys. Soc. Jap. 1970, 28, N2, 302-30.

О новых пересыщенных ионогенных металлических соединениях PtMnSn и PtMnSb.

○ Ad 8

SM, 1970, 8 N258

$\frac{T_2 \text{ Max}}{T \text{ Min X}}$  ( $T = \text{Pt}, \text{Rh}, \text{Ir}, \underline{\text{Ru}}, \text{Os}; \quad \text{VII} 6101$ ,  
 $X = \text{Al}, \text{Ga}, \underline{\text{Ge}}, \text{In}, \text{Sb}, \text{Si}, \text{Sn}) 1977$

Q. J. Appl. Phys., 1971, 42, N 4,  
1336-38. Четырехмаршевый  
аналог типа Tensler на  
основе методов математической  
и квантовой механики

Piller 1971

See

Mn Pd<sub>x</sub>

БР - VII - 6411

1942

Сплавы

6 E1354. Теплоемкость разбавленных палладий-марганцевых сплавов; поведение в критической области и зависимость от магнитного поля. Boerstoel B. M., Zwatt J. J., Hansen J. The specific heat of dilute palladium-manganese alloys; critical behaviour and magnetic-field dependence. «Physica», 1972, 57, № 3, 397—420 (англ.).

Сообщается об измерениях теплоемкости ряда разбавленных Pd—Mn-сплавов. Результаты, полученные в нулевом магн. поле, кажутся особенно важными, т. к. резкий пик теплоемкости до сих пор не наблюдался ни в каких разбавленных сплавах. Форма этого пика заметно отклоняется от формы хорошо известного  $\lambda$ -пика. Теплоемкость, измеренная в сильных магнитных полях, достаточно хорошо описывается теорией молекулярного поля.

Резюме

РЖФ, 1942, 68

Pd-Mn

cryab

B99 - VII-64911

1972

(C<sub>p</sub>)

64316j Specific heat of dilute palladium-manganese alloys. Critical behavior and magnetic field dependence. Boerstoel, B. M.; Zwart, J. J.; Hansen, J. (Kamerlingh Onnes Lab., Rijks-univ., Leiden, Neth.): *Physica (Utrecht)* 1972, 57(3), 397-420 (Eng). Sp. heat measurements on dil. Pd-Mn alloys are reported. The results at zero external magnetic field appear to be particularly remarkable, since a sharp sp. heat peak has never been obsd. in any dil. magnetic alloy. The sp. heat measured at strong external magnetic fields is described by the mol. field model.

C.A. 1972

76.12

Rh-Mn cuspabs

BP-VII-6920

1972

65433g Magnetic susceptibility and low-temperature specific heat of dilute transition-metal alloys. Claus, Helmut (Dep. Metall., Univ. Illinois, Champaign-Urbana, Ill.). *Phys. Rev. B* 1972, [3]5(3), 1134-43 (Eng). Magnetic-susceptibility measurements between 4 and 800°K and sp.-heat measurements at 1.5-4.2°K are reported for a series of dil. Rh-Mn, Mo-Fe, Mo-Co, and Au-Fe alloys in the concn. range 0.02-0.7 at. %. The solute susceptibility,  $\Delta\chi$ , of all alloys shows local-moment

Cp

(+3)

Au-Fe; Mo-Fe; Mo-Co  
cuspabs

C.A. 1972, 46, 12

Behavior and scales with the concn.  
over wide concn. range, but ~~Lipp~~  
Vol. 76, 1972 Page 480  
deviations from simple Lipp-Wiss

same for all alloys, are obsd. This deviation consists of a rapid increase of  $\Delta\chi$  at low temps. A pronounced field dependence of  $\Delta\chi$  and large sp.-heat anomalies at these temps. strongly suggest that this rapid increase in  $\Delta\chi$  arises from solute-solute interactions. This anomalous part of  $\Delta\chi$  can be readily sep'd. from the part due to isolated solute atoms. Scaling of the solute susceptibility with concn. does not necessarily signify that the alloys are "dil." in the conventional sense.

$Mn_3Pd_5$

1972

- ) 169988d Crystal and magnetic structure of the  $Mn_3Pd_5$  phase.  
Kadar, G.; Kren, E. (Cent. Res. Inst. Phys., Budapest, Hung.).  
*Solid State Commun.* 1972, 11(8), 933-6 (Eng). The crystal  
and magnetic structure of the  $Mn_3Pd_5$  phase, occurring after  
long annealing below  $500^\circ$ , was detd. by neutron diffraction.  
The crystal structure is of the orthorhombic  $Ga_3Pt_5$  type with the  
space group  $Cmmm$ . The magnetic structure is ferrimagnetic,  
the magnetic moments of Mn on sites (2a) and (4h) being coupled  
antiparallel and pointing in the direction of c axis. The Curie  
temp. was  $260 \pm 10^\circ$ .

$T_{\text{Curie}}$

C.A. 1972, 77, N26

1872

Mn Pd

9

105480d New antiferromagnetic intermetallic compound in the manganese-palladium system MnPd<sub>2</sub>. Kadar, G.; Kren, E.; Marton, M. (Cent. Res. Inst. Phys., Budapest, Hung.). *J. Phys. Chem. Solids* 1972, 33(1), 212-15 (Eng). Neutron diffraction measurements were carried out on MnPd<sub>2</sub> (Neel point,  $415 \pm 10^\circ\text{K}$ ) at 77 and 450°K. The diffraction reflections at 77°K indicate an orthorhombic unit cell; the unit cells for the crystal and magnetic structures are identical. The reflections at 450°K correspond to a distorted face-centered tetragonal unit cell; all the atoms are equally displaced from the "ideal" position to the x direction and there is a small addnl. shift of the Mn atoms to the z direction.

T  
Neel

C.A. 1872.

76.18

30418.8773  
TE, Ph.

MnPt<sub>3</sub>  
FePd<sub>3</sub> 48085

1973

21-216

Anderson D.A., Cracknell A.P.

The spin-wave contributions to the low-temperature specific heats of MnPt<sub>3</sub> and FePd<sub>3</sub>.

"Phys. status solidi (b)", 1973, 56, N 1,  
157-161 (англ., рез. нем.)

840 844



0051



ВИНИТИ

Pd<sub>2</sub>MnSn

1973

Pd<sub>2</sub>MnSb

Pd<sub>2</sub>MnGe

(Tawie)

114120w Circulation of hyperfine fields and Curie temperatures of the Heusler alloys, palladium-manganese-tin (Pd<sub>2</sub>MnSn), palladium-manganese-antimony (Pd<sub>2</sub>MnSb), and palladium-manganese-germanium (Pd<sub>2</sub>MnGe). Malik, S. K.; Vijayaraghavan, R. (Tata Inst. Fundam. Res., Bombay, India). *Proc. Nucl. Phys. Solid State Phys. Symp.*, [17th] 1972 (Pub. 1973), C, 555-9 (Eng). Phys. Comm. Dep. At. Energy: Bombay, India. The Curie temps. and the hyperfine fields at the nonmagnetic sites in the Heusler alloys Pd<sub>2</sub>MnSn, Pd<sub>2</sub>MnSb, and Pd<sub>2</sub>MnGe were calcd. by using a semphenomenol. model, based on the ideas of virtual bound states and spin d. oscillations. The results are compared with the exptl. values. Regions of agreement between theory and expt. are established.

C.A.1974.80 N20

Pd<sub>2</sub>MnSn

1973

140906f Local magnetic ordering of iron impurities in palladium manganese stannide (Pd<sub>2</sub>MnSn). Rao, K. R. P. M.; Iyengar, P. K. (Nucl. Phys. Div., Bhabha At. Res. Cent., Bombay, India). *Pramana* 1973, 1(1), 53-60 (Eng). The Moessbauer effect of <sup>57</sup>Fe embedded as a very dil. substitutional impurity in Pd<sub>2</sub>MnSn was studied. Although the Curie temp. of the alloy is 189°K, well below room temp., the Moessbauer spectrum at room temp. consists of 2 distinct 6-finger magnetic hyperfine spectra and a single unsplit line. One of the 6-finger patterns corresponds to the local magnetic coupling of the localized magnetic moments of the Fe impurities at the Pd sites with those of the 4 Mn 1st nearest neighbors of the Fe impurities. The other 6-finger pattern corresponds to the local magnetic coupling of the localized magnetic moments of the Fe impurities at the Sn sites with those of the 6 Mn 2nd nearest neighbors of the Fe impurities. The localized magnetic moments of <sup>57</sup>Fe impurities at Pd and Sn sites are antiferromagnetically coupled with the moments of their neighboring Mn atoms.

1973

CA 1973

79 N24

$Mn_5Pd_2Bi_4$

1974

13 Б458. Новые соединения в системе Mn—X—Bi,  
где X=Ni, Cu, Rh или Pd. Street G. Bryan, Su-  
its J. C., Lee Kenneth. New compounds in the Mn—  
X—Bi system where X=Ni, Cu, Rh or Pd. «Solid State  
Communs», 1974, 14, № 1, 33—36 (англ., рез. франц.)

В системе Mn—X—Bi (X=Ni, Cu, Rh, Pd) обнаружен  
новый класс магнетиков. Соединения получены сплавле-  
нием элементов в запаянной ампуле при т-рах 1000—  
1100° с последующим закаливанием или медленным  
охлаждением до коми. т-ры. Рентгенографически (по-  
рошковый дифрактометр,  $\lambda_{Cu}$ ) установлен состав этих  
соединений:  $Mn_5Ni_2Bi_4$  (I),  $Mn_3Cu_4Bi_4$  (II),  $Mn_5Rh_2Bi_4$   
(III) и  $Mn_5Pd_2Bi_4$  (IV). Параметр  $a$  кубич. решеток I—

Teorie; T<sub>tr</sub>  
исследов  
зейки

X. 1974 № 13



⊕3

IV соотв. 12,16, 12,18, 12,31 и 12,44 Å, ρ(изм.) I, II и IV 8,96, 9,00 и 8,95; т-ры Кюри I—IV 101, 183, —7 и 54°; методом ДТА найдены т-ры разложения I—IV 571, 511, 500 и 627°. Уд. сопротивление постоянно в интервале т-р —196—20° и составляет 240 мом/см при комн. т-ре. Уточнение структур проведено в рамках ф. гр.  $F\bar{4}3m$  от  $R=0,16$  для  $X=Ni, Pd$ . 32 атома Bi образуют кубич. объемноцентр. ячейку с параметром  $a'=1/2 a$ . Остальные положения в решетке могут быть описаны как октаэдрич. или тетраэдрич. относительно Bi-субъячейки. Из 32 октаэдрич. положений 24 заполнены атомами Mn. Из 64 тетраэдрич. положений 16 заполнено атомами Mn и 16 — атомами X ( $X=Ni, Pd$ ). Вблизи вакантных октаэдрич. положений наблюдается значительное искажение решетки.

И. В. Булгаровская

1974

Mn<sub>5</sub> Rh Bi<sub>4</sub>Street 6, Bryan Suite J.P.  
et. al

T curie

Solid State Communis"

T<sub>tr</sub>  
621974, 14, N1, 33-36 (and pgs  
opposite.)

nspacemps

writter

Kobice edeguicewas &amp; cuemeew

lln - X - Bi, w/ X = Ni, Cu,

Rh, Pd.

X.1974

N13

(all Mn<sub>5</sub> Pd<sub>2</sub> Bi<sub>4</sub>; I)

3ax: 24

Mn<sub>1-x</sub>Ir<sub>x</sub> (Neel)

1974

88858w Antiferromagnetism in  $\gamma$ -phase manganese-iridium alloys. Yamaoka, Takashi (Fac. Sci., Kyoto Univ., Kyoto, Japan). *J. Phys. Soc. Jap.* 1974, 36(2), 445-50 (Eng). Crystallog. and magnetic properties were studied in the disordered  $\gamma$ -phase Mn<sub>1-x</sub>Ir<sub>x</sub> ( $0.05 < x < 0.35$ ) alloys. In Mn rich alloys, tetragonal distortion with the axial ratio  $c/a > 1$  occurs at a temp. below their Neel temp.,  $T_N$ . The tetragonal distortion temp.,  $T_d$ , in the antiferromagnetic ordered state decreases rapidly with increasing Ir and the alloys with  $x > 0.15$  remain cubic down to low temps. On the other hand,  $T_N$  increases with alloying Ir at a rate of  $\sim 9^\circ\text{K}/\text{at.\% Ir}$  up to  $730^\circ\text{K}$  at  $x = 0.25$  and it is extrapolated to  $500 \pm 20^\circ\text{K}$  for fee. Mn. The anomalous rise of  $T_N$  is not mainly attributed to at. order nor to the enhancement of exchange interaction resulting from lattice expansion, but the perturbation of band structure resulting from alloying leads to stronger magnetic interaction. A Cu<sub>3</sub>Au type at. ordering in the vicinity of  $x = 0.25$  raised the  $T_N$  by  $\sim 200^\circ\text{K}$ . The origin of tetragonal distortion is discussed.

# Fe<sub>1-x</sub>Ru<sub>x</sub>MnAs

1975

(Curie)

89956a Crystallographic and magnetic study of the solid solution iron ruthenium manganese arsenide ((Fe<sub>1-x</sub>Ru<sub>x</sub>)MnAs). Deyris, B.; Roy-Montreuil, J.; Michel, A.; Senateur, J. P.; Rouault, A.; Krumbiegel-Nylund, A.; Fruchart, R. (Lab. Chim. Miner., Univ. Paris-Sud, Orsay, Fr.). *Mater. Res. Bull.* 1975, 10(7), 603-6 (Fr). The hexagonal phases Fe<sub>1-x</sub>Ru<sub>x</sub>MnAs are ferromagnetic. The evolution in structural and magnetic properties is the same as in solid solns. MnFeAs<sub>1-y</sub>P<sub>y</sub>. This fact is correlated with an increase of *d-d* interaction. The values of the Curie point and magnetic moment of RuMnAs are resp. 497°K and 3.76  $\mu$ B/mol. The lattice parameters of the compd. was also detd.

C.A. 1975, 83 n 10

Mn<sub>0.8</sub>Te<sub>0.2</sub>Rh

1975

84; 158918z Ferromagnetism in bismuth- and tellurium-substituted manganese rhodium (MnRh). Suits, J. C. (Res. Div. Lab., IBM, San Jose, Calif.). *IBM J. Res. Dev.* 1975, 19(4), 422-3 (Eng). The magnetization and magnetic susceptibility measurements for Mn<sub>0.8</sub>Bi<sub>0.2</sub>Rh showed that the compd. had paramagnetic Curie temp. of 185°K, a linear temp. dependence for the reciprocal susceptibility, and a spin-only moment of 3.5  $\mu$ B. Similar results were obtained for Mn<sub>0.8</sub>Te<sub>0.2</sub>Rh, which showed a paramagnetic Curie point of 150°K and a spin-only moment of 3.4  $\mu$ B. These results were consistant with a model of competitive ferromagnetic and antiferromagnetic exchange in MnRh-type compds. The substitution of Bi and Te in antiferromagnetic MnRh caused the compd. to become ferromagnetic.

Curie

C.A. 1976 84 n22

Pd. Mnt

1975

Watanabe K.

Nippon Kinzoku Gokkai-  
shi, 1975, 39 (5)

(Ttr)

498-502

Per. Cullensb; I)

Pt<sub>1-x</sub>

Tet Au Mn Sb

7976

84: 129696v Magnetic properties of Cl<sub>b</sub>-type intermetallic compounds platinum gold manganese antimonide (Pt<sub>1-x</sub>Au<sub>x</sub>MnSb). Masumoto, Hakaru; Watanabe, Kiyoshi (Res. Inst. Electr. Magn. Alloys, Sendai, Japan). *Nippon Kinzoku Gakkaishi* 1976, 40(2), 133-5 (Japan). Crystal structures and magnetic properties of Pt<sub>1-x</sub>Au<sub>x</sub>MnSb compds. were investigated with an x-ray diffractometer and a magnetic balance, resp. The lattice parameter of the pseudoternary compds. increases with increasing Au concn. Magnetic moment per Mn atom of these compds. has a max. value of 4.30  $\mu$ B at  $x = 0.6$ . It is assumed from the results of Curie temp. measurements that the magnetic interaction in Pt<sub>1-x</sub>Au<sub>x</sub>MnSb is closely related to the concn. of valence electrons rather than the lattice parameter.

C.A.1976

84 n18

Pt Mn

1976

Kuentzler R.

Cp, 1-20K

5TT, N 19, 120.

(Y. Illegible)

$Mn_{58}Rh_{42-x}Cr_x$

1976

85: 115770y Effect of pressure on a phase transition in manganese-rhodium-chromium system alloys. Medvedeva, L. I. (Donetsk. Fiz.-Tekh. Inst., Donetsk, USSR). *Fiz. Tverd. Tela (Leningrad)* 1976, 18(5), 1466-8 (Russ). Specimens of the following compns. were used:  $Mn_58Rh_{42-x}Cr_x$  ( $0 \leq x \leq 6$ ) in fields  $\leq 12$  kOe, at  $77-450^\circ K$  and pressures  $\leq 9.5$  kbars. The temp. dependence of magnetization at various pressures shows that on cooling from high temps. magnetization appears and increases rapidly, then at some temp. it passes through a max. and decreases rapidly. This indicates the presence of a martinzitic transformation  $\beta \rightleftharpoons \gamma$ . Application of pressure shifts the temp. of the transition, i.e. under hydrostatic compression the region of existence of the  $\beta$ -phase is narrowed. A. Libackyj

(Ttx)

C.A. 1976, 85 n/16

Pt<sub>3</sub>Mn

1977

8 E409. Наблюдение магнонной теплоемкости в Pt<sub>3</sub>Mn. Bienias J. A., Moody D. E., Kuentzel R. Observation of the magnon specific heat in Pt<sub>3</sub>Mn. «Physica» 1977, BC 86 — BC 88 (Part 1), 351—352 (англ.)

(C<sub>P</sub>)

Измерялась теплоемкость соединения Pt<sub>3</sub>Mn в области т-р 1—35° К в полях напряженностью до 45 кэ. В отсутствие внешнего поля температурная зависимость теплоемкости до 4° К хорошо описывается зависимостью  $C = \gamma T + \beta T^3 + kT^{-2} + \alpha T^{3/2} C(T/T_H)$ , где  $\gamma = 2,96$ ,  $\beta = 0,053$ ,  $k = 4,12$  и  $\alpha = 0,46$ . Член  $C(T/T_H)$  учитывает наличие щели в спин-волнах спектре, которая получается в результате действия эффективного магн. поля. Основными выводами являются: в соединении Pt<sub>3</sub>Mn наблюдается рост величины  $\gamma$  с увеличением внешнего магн. поля и понижение магнонной и ядерной теплоемкости, что необычно для материалов с достаточно высокой т-рой Кюри; при более высоких т-рах ( $> 10^{\circ}$  К) определение магнонной составляющей весьма затруднительно.

А. С. Андреенко

9.1977. № 8

Pt<sub>3</sub>Mn

1977

+ 86: 178488d Observation of the magnon specific heat in platinum-manganese (Pt<sub>3</sub>Mn). Bienias, J. A.; Moody, D. E.; Kuentzler, R. (Dep. Phys., Univ. Leeds, Leeds, Engl.). *Physica B + C (Amsterdam)* 1977, 86-88 B+C, pt. 1, 351-2 (Eng). Measurements are reported of the magnetic field (0-45 kOe) and temp. (1-35 K) dependence of the sp. heat of ordered Pt<sub>3</sub>Mn, the primary objective being to identify the magnon contribution.

(C<sub>P</sub>)

C.A. 1977. 86 N<sub>24</sub>

# Pt-Mn (cont'd)

1977

(Cp)

SS: 28577j The specific heat of spin glass in platinum--manganese dilute alloys. Kimishima, Yoshihide; Kobayashi, Makoto; Seto, Renichi; Miyako, Yoshihito (Fac. Sci., Hokkaido Univ., Sapporo, Japan). *J. Phys. Soc. Jpn.* 1977, 43(5), 1577-80 (Eng). The sp. heat of 1.0, 2.0, and 2.6 at.% PtMn dil. alloys were measured. At low temps., the magnetic sp. heat increases in proportion to temp. and the proportionality const. decreases with the Mn concn. The sp. heat curve is concave at the lowest temps., which is remarkably seen for 2.6 at.% PtMn dil. alloy. The curves of sp. heat are in good accord with the computer simulation result taking account of the elementary excitation by Walker and Walstedt (1977).

C.A., 1978, 88, 174

Mn Pt<sub>x</sub>

1977

У 13 Б804. Термога и свободная энергия образования сплавов системы марганец—платина. Сирота Н. Н., Орлик Л. К. «Изв. АН БССР. Сер. физ.-мат. н.», 1977, № 6, 100—102

В интервале т-ре 750—920° методом э. д. с. с использованием в кач-ве электролита эвтектич. смеси KCl—NaCl с добавкой MnCl<sub>2</sub>, а в кач-ве Э сравнения металлич. Mn, изучены термодинамич. св-ва 9-ти сплавов Mn—Pt в области составов  $X_{Mn}$  от 0,106 до 0,975. Результаты представлены графически. Отмечено сравнительно большое взаимодействие между Mn и Pt в сплавах. Экстремальные значения теплоты и свободной энергии образования в системе Mn—Pt составляют —12,28 и —7,19 ккал/г-ат и являются более отриц., чем соотв-щие величины в системах Mn—Ni и Mn—Pd.

А. Б. Кисилевский

2, 1978, N13

1977

Mn<sub>x</sub>Pt<sub>y</sub>

(ΔH, 46)

88: 159437m Heat and free energy of formation of manganese-platinum system alloys. Sirota, N. N.; Orlik, I. K. (Inst. Fiz. Tverd. Tela Poluprovodn., Minsk, USSR). *Vestsi Akad. Navuk BSSR, Ser. Fiz.-Mat. Navuk* 1977, (6), 100-2 (Russ). The heat,  $\Delta H$ , and free energy,  $\Delta G$ , of alloying in Mn-Pt system were detd. by the emf. method over the whole compn. range at 1000-1200 K. The  $\Delta H$  and  $\Delta G$  values show a max. at ~65% Mn. The abs. values of the max. on the  $\Delta H$  and  $\Delta G$  vs. concn. curves in a series of Mn-Ni, Mn-Pd, and Mn-Pt systems increase with increasing at. no. of the Pt-group metal, i.e., Ni < Pd < Pt.

C.A. 1978, 88, 1022

для Rh<sub>2</sub>S<sub>4</sub>

1977

(4M)

Тюменьскоб 10. Р. в г/к

Тез. подкл. - 7 ав. Ред. конгр.

но. категорий). ЗИТ-77-ЗИИ-77.

Б-2; ССУР 10

1979

Pd<sub>1-x</sub>Mn<sub>x</sub>

92: 103240g The volume dependence of the Curie temperature and magnetization of palladium-manganese alloys. Guy, C. N.; Stroem Olsen, J. O. (Imp. Coll., London, Engl.). *J. Appl. Phys.* 1979, 50(11, Pt. 2), 7353-5 (Eng). Large neg. pressure derivs. of Curie point  $T_c$  and magnetization  $M(0,0)$  found for Pd<sub>1-x</sub>Mn<sub>x</sub> ( $0.014 < x < 0.04$ ) are interpreted in terms of weak itinerant ferromagnetism.

(Curie)

C.A. 1980.92, v12

1979

PtMnSbNiMnSb

Ttr

92: 87020c Hyperfine magnetic field at cadmium impurity site in Cl<sub>b</sub> Heusler alloys platinum manganese antimonide (PtMnSb) and nickel manganese antimonide (NiMnSb) by TDPAC technique. Julian, Glenn M.; Black, Robert D.; Jha, S.; Blue, James W.; Liu, David C. (Miami Univ., Oxford, OH 45056 USA). *J. Appl. Phys.* 1979, 50(11, Pt. 2), 7510-12 (Eng). The time differential perturbed angular correlation (TDPAC) technique was used to measure the temp. dependence of the hyperfine magnetic field (hmf) at the site of Cd impurity in Cl<sub>b</sub> Heusler alloys PtMnSb ( $T_c = 575$  K) and NiMnSb ( $T_c = 720$  K). Serving as probe was the 84-ns 247-keV state of Cd-111, populated in the decay of 2.8-d In-111. Alloys were prep'd. by replacing 2 at. % of Sb by In metal which had been bombarded with 30-MeV protons to produce the In-111 activity. The measured hmf in kG at the Cd impurity, presumed at the Sb site, are in PtMnSb  $166 \pm 4$  (77 K),  $153 \pm 2$  (200 K),  $138 \pm 2$  (293 K),  $125 \pm 2$  (373 K),  $95 \pm 2$  (473 K), and  $76 \pm 2$  (488 K); in NiMnSb  $213 \pm 3$  (77 K),  $208 \pm 4$  (200 K),  $194 \pm 3$  (293 K),  $191 \pm 4$  (404 K),  $169 \pm 4$  (519 K), and  $125 \pm 4$  (630 K).

(+) ⊗

CA 1980 92 110

1980

# Pt<sub>3</sub>Mn<sub>x</sub>Fe<sub>1-x</sub> (сплав)

(Cp)

2 Е267. Теплоемкость сплавов Pt<sub>3</sub>Mn<sub>x</sub>Fe<sub>1-x</sub>. Коуров Н. И., Подгорных С. М., Циовкин Ю. Н., Волкенштейн Н. В. «Ж. эксперим. и теор. физ.», 1980, 79, № 5, 1921—1926

С помощью адиабатич. калориметра проведено исследование теплоемкости атомно-упорядоченных сплавов Pt<sub>3</sub>Mn<sub>x</sub>Fe<sub>1-x</sub> ( $x=0; 0,2; 0,3; 0,4; 0,5; 0,8; 1$ ) в интервале т-р 13—300° К. Исходные сплавы — антиферромагнетик при  $x=0$  и ферромагнетик при  $x=1$ . Температурные и концентрационная зависимости магн. части теплоемкости обсуждаются в рамках модели зародышевого механизма концентрационного фазового перехода.

Резюме

Ф. 1981 № 2

Pt<sub>3</sub>Mn<sub>x</sub>Fe<sub>1-x</sub>  
(cubic)

1980

✓ 94: 21337w Specific heat capacity of Pt<sub>3</sub>Mn<sub>x</sub>Fe<sub>1-x</sub> alloys.  
Kourov, N. I.; Podgornykh, S. M.; Tsiovkin, Yu. N.; Volkenstein,  
N. V. (Inst. Fiz. Met., Sverdlovsk, USSR). *Zh. Eksp. Teor. Fiz.*  
1980, 79(5), 1921-6 (Russ). The sp. heat of atomically ordered  
Pt<sub>3</sub>Mn<sub>x</sub>Fe<sub>1-x</sub> alloys ( $x = 0, 0.2, 0.3, 0.4, 0.5, 0.8, 1$ ) was measured  
with an adiabatic calorimeter at 13-300 K. The alloys are  
antiferromagnetic for  $x = 0$  and ferromagnetic for  $x = 1$ . The  
temp. and concn. dependences of the magnetic parts of the sp.  
heats are discussed from the viewpoint of the nucleation  
mechanism of a concn. phase transition.

(C<sub>P</sub>)

C.A. 1981. 94 n 4

Mn Pt  
(cubic)

1980

93: 14084n Thermodynamic investigation of spin glasses.  
Miyako, Y.; Chikazawa, S.; Sato, T.; Saito, T. (Fac. Sci.,  
Hokkaido Univ., Sapporo, Japan). *J. Magn. Magn. Mater.* 1980,  
15-18(1), 139-40 (Eng). Sp. heats and nonlinear magnetic  
susceptibilities of MnPt alloys and  $(Ti_{1-x}V_x)_2O_3$  spin glasses were  
studied. The behaviors of nonlinear susceptibilities around the  
ordering temp. suggest that the spin glass freezing is a cooperative  
phenomenon.

(C<sub>P</sub>)

CA 1980 23 n2

*Pd<sub>3</sub>Mn*

L1981

8 Б767. Термодинамика растворов водорода в сплавах палладий—марганец. I. Pd<sub>3</sub>Mn от 555 до 909 К. Phutela R. C., Kleppa O. J. Thermodynamics of solutions of hydrogen in palladium—manganese alloys. I. Pd<sub>3</sub>Mn from 555 to 909 K. «J. Chem. Phys.», 1981, 75, № 8, 4095—4103 (англ.)

Равновесным калориметрич. методом в интервале т-р 555—909 К определены термодинамич. св-ва разб. р-ров водорода идейтерия в Pd<sub>3</sub>Mn. В области т-р 750—800 К, лежащей в исследованном интервале т-р, Pd<sub>3</sub>Mn испытывает переход типа порядок—беспорядок. В этой области т-р происходит сильное изменение термодинамич. св-в водорода. Найдено, что парц. энтропия водорода в сплаве меньше соотв-щей величины в чистом палладии. В предположении, что р-ренные в металле атомы водорода могут рассматриваться как трехмерные гармонич. осцилляторы из разности термодинамич. св-в водорода идейтерия рассчитана частота колеба-

*термод. св-в*

*X. 1982, 19, N8*

ний водорода. Найдено, что частота колебаний увеличивается с ростом т-ры и имеется заметное увеличение частоты в области перехода. Это изменение частоты коррелирует с уменьшением парц. энтропии водорода при переходе от упорядоченного сплава к разупорядоченному, равным 1,8 э. с. Обсуждена зависимость термодинамич. св-в от температуры. В. Ф. Байбуз

1981

*Pd<sub>3</sub>Mn*

5 E522. Термодинамика растворов водорода в сплавах палладий — марганец. Ч. I. Pd<sub>3</sub>Mn в интервале 555—909 К. Thermodynamics of solutions of hydrogen in palladium-manganese alloys. I. Pd<sub>3</sub>Mn from 555 to 909 K. Phutela R. C., Kleppa O. J. «J. Chem. Phys.», 1981, 75, № 8, 4095—4103 (англ.)

*T<sub>H2</sub>, ΔH<sub>H2</sub>*

Измерены тепловые эффекты растворения водорода и дейтерия в Pd<sub>3</sub>Mn, а также парциальные равновесные давления H над этими сплавами. Сплав Pd<sub>3</sub>Mn испытывает переход порядок — беспорядок в интервале 750—800 К. В результате упорядочения растворимость повышается, а термодинамич. свойства растворенного H заметно меняются:  $\Delta\bar{G}_{\text{H}}^{\text{exs}}$  и  $\Delta\bar{H}_{\text{H}}$  понижаются, а  $\Delta\bar{S}_{\text{H}}^{\text{exs}}$  растет. В интервале упорядочения на температурных зависимостях термодинамич. свойств растворенного газа наблюдаются особенности. Для объяснения результатов призывается представление о том, что атомы H располагаются преимущественно в междоузлиях, окруженных только атомами Pd. Библ. 22.

Б. Могутнов

*cp. 1982, 18, N5.*

1982

Pd Mn

тепловое  
расширение.

5 Е261. Тепловое расширение спиновых стекол.  
PdMn (с гигантским моментом) и PdHMn (с РККИ взаимодействием). Thermal expansion of (giant moment) PdMn and (RKKY) PdHMn spin glasses. Geegkens B. M., Nieuwenhuys G. J. «Physica BC», 1982, BC 115, № 1, 5—9 (англ.).

В интервале т-р 2—20 К изучен магн. вклад в тепловое расширение сплавов  $Pd_{1-c}Mn_c$  и  $Pd_{1-c}Mn_cH_x$  и  $0,01 < c < 0,06$  и  $x \approx 0,7$ . Измерялась температурная зависимость разницы коэф. теплового расширения сплавов и чистого палладия  $\alpha_m$ . Для  $c < 0,03$  ферромагн. упорядочение сплава  $Pd_{1-c}Mn_c$  приводит к отрицат. величине  $\alpha_m$  ниже т-ры упорядочивания. При  $0,03 < c < 0,06$  (область спинового стекла)  $\alpha_m > 0$ . В промежуточной области  $0,03 < c < 0,04$  наблюдался широкий минимум  $\alpha_m$  при  $T \approx 10$  К. В случае сплава  $PdHMn$  величина  $\alpha_m$  положительна для всех т-р. Обнаружено, что параметр  $\alpha_{\max}/c_{\text{эфф}}$  (где  $\alpha_{\max}$  — максим. значение  $\alpha_m(T)$ , а  $c_{\text{эфф}}$  — эффективная конц-ия, определенная из измерений теплоемкости) почти не зависит от конц-ии вплоть до  $c = 6$  ат.%. В. Г. Шапиро

φ 1983, 18, n 5.

PdMn<sub>x</sub>H<sub>y</sub>

1982

12 Б708. Термодинамика растворения водорода в сплавах палладий — марганец. II. Область от Pd до PdMn. Phutela R. C., Kleppa O. J. Thermodynamics of solutions of hydrogen in palladium-manganese alloys. II. Pd to PdMn. «J. Chem. Phys.», 1982, 76, № 3, 1525—1534 (англ.)

Теплоты р-рения H<sub>2</sub> и D<sub>2</sub> в сплавах Pd—Mn определены в двойном калориметре Кальве при 555—700 К и в калориметре Кальве с одной ячейкой до 909 К. Опытные данные представлены графически в координатах  $x\sqrt{p}-\gamma\sqrt{p}$ , приведены  $\Delta\bar{H}$  (H<sub>2</sub> и D<sub>2</sub>) в зависимости от состава сплава в интервале от Pd до PdMn. Для сплавов до 25 ат. % Mn  $\Delta H_{раств}$  увеличивается с возрастанием конц-ии Mn.  $\Delta H_{раств}$  растет с увеличением т-ры и в этом же направлении возрастает  $\Delta S_{раств}$ . Эти изменения отражают вхождение H<sub>2</sub> в энергетически менее выгодные позиции в сплавах.

Л. А. Резницкий

X, 1982, 19, N 12.

Pt - Mn  
(crystal)

Omura 14852 1982

97: 116239s Thermal excitation in a spin glass: specific heat of platinum-manganese alloys. Sato, Toshikazu; Miyako, Yoshihito (Fac. Sci., Hokkaido Univ., Sapporo, Japan 060). *J. Phys. Soc. Jpn.* 1982, 51(7), 2143-50 (Eng). Sp. heat of Pt-Mn (3.0, 3.7 and 5.0 at.% Mn) was measured at 0.5-20K. Low-temp. magnetic sp. heat at  $T \ll T_g$  is not linear in temp. and is well fitted by  $AT + BT^2$ . The coeffs. A and B depend on Mn concn. and A = 13.6, 6.8, and 1.0 and B 9.0, 8.4, and 6.0 (mJ/K<sup>3</sup>.mol) for 3.0, 3.7 and 5.0 at.% Mn alloys, resp. This low-temp. behavior of the sp. heat can be quant. explained by a spin wave excitation. The spin wave spectrum was assumed to be given by the step function.

Cp;

C.A. 1982, 97, N 14

*MnPt<sub>3</sub>O<sub>6</sub>*

1983

17 Б464. Структура и кристаллохимия тройных смешанно-валентных платиновых оксидов: MnPt<sub>3</sub>O<sub>6</sub>, CoPt<sub>3</sub>O<sub>6</sub>, ZnPt<sub>3</sub>O<sub>6</sub>, MgPt<sub>3</sub>O<sub>6</sub> и NiPt<sub>3</sub>O<sub>6</sub>. Structure and crystal chemistry of mixed-valence ternary platinum oxides: MnPt<sub>3</sub>O<sub>6</sub>, CoPt<sub>3</sub>O<sub>6</sub>, ZnPt<sub>3</sub>O<sub>6</sub>, MgPt<sub>3</sub>O<sub>6</sub>, and NiPt<sub>3</sub>O<sub>6</sub>. Schwartz K. B., Parise J. B., Prewitt C. T., Shannon R. D. «Acta crystallogr.», 1983, B39, № 2, 217—226 (англ.) Место хранения ГИНТБ СССР

Методом твердофазных р-ций синтезированы кристаллы MnPt<sub>3</sub>O<sub>6</sub> (I), CoPt<sub>3</sub>O<sub>6</sub> (II), ZnPt<sub>3</sub>O<sub>6</sub> (III), MgPt<sub>3</sub>O<sub>6</sub> (IV) и NiPt<sub>3</sub>O<sub>6</sub> (V). С помощью порошкового полнопрофильного анализа по методу Ритвелда проведено их нейтронографич. исследование. Параметры ромбич. решеток I—V найденные по рентгенографич. данным, соотв.:  $a$  7,152; 7,085; 7,133; 7,122; 7,123;  $b$  10,045; 9,941; 9,956; 9,940; 9,933;  $c$  3,1476; 3,1427; 3,138; 3,141; 3,100 Å, ф. гр. *Cmm* (I—IV) и *Pbam* (V). Структуры I—V относятся к структурному типу CdPt<sub>3</sub>O<sub>6</sub>, где атомы Pt занимают PtO<sub>6</sub>-октаэдры и

*Структура  
и кристал-  
лохимия*

(4)  
X

X. 1983, 19, N 17

$\text{PtO}_4$ -плоские псевдоквадраты. Коорд. ч. атомов Cd равно 8 (искаженный куб). В структурах I—V соотв. структурные ф-лы с учетом распределения катионов по трем (8, 4 и 6) позициям:  ${}^8(\text{Mn}_{0.88})^4(\text{Pt})^6(\text{Pt}_{1.87}\text{Mn}_{0.13})\text{O}_6$ ,  ${}^8(\text{Co}_{0.92})^4(\text{Pt})^6(\text{Pt}_{1.86}\text{Co}_{0.14})\text{O}_6$ ,  ${}^8(\text{Zn}_{0.95})^4(\text{Pt})^6(\text{Pt}_2)\text{O}_6$ ,  ${}^8(\text{Mg})^4(\text{Pt})^6(\text{Pt}_2)\text{O}_6$ ,  ${}^8(\text{Ni})^4(\text{Pt}_{0.86}\text{Ni}_{0.14})^6(\text{Pt}_2)\text{O}_6$ . Средн. межатомные расстояния:  ${}^6(\text{Pt}—\text{O})$  2,01—2,03,  $\text{O}—\text{O}$  2,83—2,86 Å,  ${}^4(\text{Pt}—\text{O})$  2,99—3,01,  $\text{O}—\text{O}$  2,45—2,63 Å. Обсуждаются структурные искажения в связи с различным заполнением катионных позиций.

Ю. А. Малиновский

ИГСИ  
ИЭ

Pd Mnfe

Pd<sub>1,5</sub>Mn<sub>0,5</sub>Si

Pd<sub>1,5</sub>Mn<sub>0,5</sub>fe

Manganese

CB - 8a

[Om. 1984]

1984

Bazela W.

X. Less-Common  
Metals, 1984, 100,  
341 - 346.

Om. 19876

1984.

Rh Mn Be

Rh Mn Si

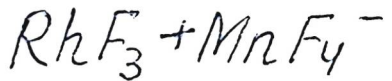
Urawa et al.

CB-8A,

(Ta, Ti)

Bazela W.,

J. Less-Common Metals,  
1984, 100, 341-346.



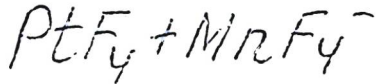
1984

Chilingarov N. S., Koro-  
gov I. V., et al.

(ΔH)

Prob. Kalorim. Khim.  
Termodyn., Dokl. Vses. Konf.,  
10th 1984, 2, 469-71.

(Ca<sub>x</sub>MnF<sub>3</sub> + AlF<sub>4</sub><sup>-</sup>; T)



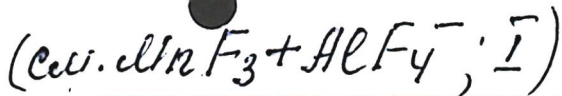
1984

Chilingarov N. S.,

Korobov M. V., et al.

(12H) Probl. Kalorim. Khim.

Termodyn., Dokl. Vses. Konf.,  
10th 1984, 2, 469-71.



IrMnGa

1984

T<sub>tr</sub>;

Helmholdt R.B., de  
Groot R.A., Mueller F.M.,  
et al.

J. Magn. and Magn.  
Mater., 1984, 43, N3, 249-255.

(cer. NiMnSb; I)

Pt - MnF<sub>3</sub>

1984

4 Б3040. Молекулы с высоким сродством к электрону. Отрицательные ионы в насыщенном паре системы Pt—MnF<sub>3</sub>. Коробов М. В., Чилингаров Н. С., Иголкина Н. А., Никитин М. И., Сидоров Л. Н. «Ж. физ. химии», 1984, 58, № 9, 2250—2253

Методом Кнудсена с масс-спектральным анализом продуктов испарения исследованы ион-молек. равновесия в насыщ. паре системы Pt—MnF<sub>3</sub>. Определены энталпии образования отриц. ионов  $\Delta H^{\circ}_{f, 298} \text{MnF}_4^-$ ,  $\text{AlMnF}_7^-$ ,  $\text{Mn}_2\text{F}_7^-$ ,  $\text{MnF}_3\cdot\text{PtF}_4^-$ , равные соотв.,  $-1466 \pm 60$ ;  $-2950 \pm 60$ ;  $-2517 \pm 84$ ;  $-2054 \pm 105$  кДж/моль; сродство к электрону EA PtF<sub>4</sub> и MnF<sub>4</sub> соотв.  $5,20 \pm 0,16$ ;  $5,23 \pm 0,16$  эВ. Оценены величины  $\Delta H^{\circ}_{f, 298} \text{MnF}_4\cdot\text{PtF}_4^-$  и  $\text{MnF}_5^-$  соотв.  $-2268$  и  $-1565$  кДж/моль. Для измерения констант равновесия использован ион-чай источник типа «комбайн», позволяющий опред. парц. давл. нейтр. и заряженных частиц в ходе одн. опыта.

Автореф

Х. 1985, 19, № 4

Pd Mn

[Омск 19.9.27] 1984

2 Е696. Термодинамика нестехиометрической фазы  $\beta'$ -PdMn. Thermodynamics of the nonstoichiometric phase  $\beta'$ -PdMn. Krachler Regin, Ipsen Herbert, Komagtek Kurt L. «Z. Metallk.», 1984, 75, № 9, 724—729 (англ.; рез. нем.)

Разработанным авторами ранее методом определены активность марганца в области гомогенности фазы  $\beta'$ -PdMn, обладающей упорядоченной B2-структурой, в интервале конц-ий от 48 до 58 ат.% Mn и т-рах

1125—1350 К. Для т-ры 1273 К рассчитаны парциальные мольные термодинамич. свойства Mn. Для интерпретации полученных термодинамич. свойств успешно применена статистич. модель B2 фаз с дефектами замещения, дающая для фазы  $\beta'$ -PdMn параметр разупорядочения  $\alpha = 2 \cdot 10^{-4}$  при 1273 К. Столь низкое значение параметра  $\alpha$  показывает, что в фазе  $\beta'$ -PdMn существует наиболее высокая степень порядка по сравнению со всеми B2-фазами замещения, к которым до сих пор применялась модель. Библ. 24. А. И. Зайцев

термод  
св-ва

φ. 1985, 18, № 2.

MnRuP

1985

14·Б3148. Магнитные фазовые переходы в двойных фосфидах MnRuP. Magnetic phase transitions of the ternary phosphide MnRuP. Bartolome J., Garcia J., Rillo C., Palacios E., Bacmann M., Fruchart D., Fruchart R., Chenevier B. «J. Magn. and Magn. Mater.», 1986, 54—57, Pt 3: Proc. Int. Conf. Magn., San Francisco, Calif., 26—30 Aug., 1985.. Pt 3, 1499—1500 (англ.)

Методом нейтронографии, а также путем измерения магн. восприимчивости к уд. теплоемкости в интервале 77—300 К исследовано поведение MnRuP. Ниже т-ры Нееля, равной  $269 \pm 1$  К, обнаружено образование не-соразмерной спиральной структуры. При  $176 \pm 10$  К имеет место магн. фазовое превращение с образованием др. несоразмерной фазы, а при  $116 \pm 5$  К наблюдается изменение спиновой ориентации, объясняемое структурным фазовым превращением. Полученные данные проанализированы в сравнении с известными для подобных соединений с точки зрения их магн. структуры, превращения к-кой связаны с изменением электронной локализации.

В. Е. Смирнов

(T<sub>tr</sub>)  
Х. 1986, 19, N 14

MnRhAs

1985

20 Б3028. Теплоемкость и магнитная восприимчивость MnRhAs. Heat capacity and magnetic A. C. susceptibility of MnRhAs. García J., Rillo C., Bartolomé J., González D., Navarro R., Chenevier B., Fruchart D., Chaudouët P. «VIII. Int. Conf. Solid Compounds Transit. Elec., Vienna, Apr. 9—13, 1985. Extended Abstr.» Vienna, 1985, P3A5/1—P3A5/3 (англ.)

Гр;  
Теплоемкость  $C_p$  и магн. восприимчивость  $\chi$  измерены для MnRhAs (гекс.) (I) в интервале 5—300 К. Приведены т-ры К и  $\Delta H/RT$  фазовых переходов I:  $58 \pm 1$ ,  $54 \pm 0,5$  — переход 2-го рода;  $156,9 \pm 0,1$ ,  $28,7 \pm 0,3$  — переход 1-го рода,  $240,7 \pm 0,3$ ,  $320 \pm 30$  — переход 2-го рода. Значения  $\chi$  при 157 К указывают на превращение антиферромагнетик—ферромагнетик, т-ра Кюри равна  $190,5 \pm 0,5$  К. Возможно, что превращение при 58 К связано с коллинеарным упорядочением спинов, что подтверждается нейтронографич. методом. Расчеты термодинамич. ф-ций при 298 К не проводились.

Л. А. Резницкий

ж. 1986, 19, № 20

Pd<sub>2</sub>Al<sub>3</sub>In

(Nr 28360)

1987

Pd<sub>2</sub>Al<sub>3</sub>Si

Shirakawa K.,

Kanomata T., et al.,

g. illagn. and illagn.

Tc; illater., 1987, 70, N1-3,

● 421-422.

PtMn

[OM. 28803]

1988

Krachler R., Ipsis H.,  
et al.,

металлург.

Z. Metallk., 1988, 79,  
N2, 96-101.

Pd<sub>2</sub>MnSn 1991

Pd<sub>2</sub>Mn<sup>3+</sup> Fraja F.-L.F., Brandao D.E.  
et al.,

(P) 1991, 10d (1-2), 199-207  
γ · Mn · Mn · Mn

(all Pd<sub>2</sub>MnSn; -)

1992

МнРdX

11 Е697. Фазовый переход в палладий-марганцевых сплавах с содержанием Mn до 33,3 ат.%. The phase transition in palladium-manganese alloys with up to 33,3 at.% Mn / Baba K., Niki Y., Sakamoto Y., Flanagan T. B. // J. Alloys and Compounds. — 1992. — 179, № 1—2.— С. 321—331.— Англ.

Методами металлографии, рентгеновской и электронной дифракции, электронной микроскопии и измерения электросопротивления изучен фазовый переход в Pd—Mn-сплавах с содержанием Mn от 10 до 33,3 ат.%. Образцы закаливали от 1193 К в ледяной воде, а затем отжигали при 1153 К 30 мин и охлаждали до комн. т-ры со скоростью 2 К/ч. В сплавах с содержанием Mn от 12,5 до 21,5% наблюдается слабый близкий порядок  $\alpha\text{-Li}_{2-s}$ . В сплавах с содержанием Mn от 23,0 до 31,0% наблюдается более высокая степень близкого порядка  $\alpha\text{-Li}_{2-s}$  (типа AgMg), и, кроме того, еще два других типа сверхструктурных отражений:  $\beta_1\text{-Li}_{2-s}$ -фаза, которая имеет одномерные длиннопериод-

(T<sub>2</sub>)

Ф. 1992, N 11-12

ные антифазные домены (типа  $LI_0$ ), т. е. с тетраг. структурой, где  $c/a < 1$ - и  $\beta_2$ -( $LI_2$ )-фаза, тоже тетрагональная, но с отношением  $c/a > 1$ . Т-ры фазового перехода  $T_c = 693 \pm 10$  К для сплава с 23,0% Mn,  $920 \pm 10$  К для сплавов с 29,0 и 33,3% Mn и  $943 \pm 10$  К для сплава с 31,0% Mn. Уточнены области существования фаз  $\alpha$ ,  $\alpha-LI_{2-s}$ ,  $\beta_1$ ,  $\beta_1-LI_{2-s}$  и  $\beta_2$  на фазовой диаграмме.



МирПdз

1992

1 Б3079. Кинетика индуцированного водородом упорядочения в Pd<sub>3</sub>Mn с образованием структуры L1<sub>2</sub>-типа. The kinetics of hydrogen-induced ordering in Pd<sub>3</sub>Mn to the L1<sub>2</sub>-type structure /Sakamoto Y., Baba K., Niki Y., Ishibashi Y. //J. Alloys and Compounds .—1992 .—184 , № 1 .—С. 57—67 .—Англ.

Методом измерения электросопротивления исследована кинетика индуцир. Н упорядочения в закаленном и частично упорядоченном (L1<sub>2</sub>-типа) сплаве Pd<sub>3</sub>Mn в интервале т-р от 623 до 726 К и давл. Н от 0 до 3,0 МПа. В случае закаленного (неупорядоченного) исходного сплава скорость упорядочения выше, т. к. частично упорядоченная структура отличается большей устойчивостью при перегруппировке атомов. Рост т-ры и давл. Н повышают скорость упорядочения, однако при более высокой т-ре растворимость Н уменьшается и требуется увеличивать давл. Образование индуцир. Н упорядоченной L1<sub>2</sub>-структуре связано с занятием атомами Н октаэдрич. позиций, имеющих в окружении 6 атомов Pd. Е. М.

(T<sub>E2</sub>)

Х. 1993, № 1

MnRh<sub>2</sub>O

1994

6 Б3080. Фазовые соотношения и (значения) энергии Гиббса в системе Mn—Rh—O. Phase relations and Gibbs energies in the system Mn-Rh-O /Jacob K. T., Sriram M. V. //Met. and Mater. Trans. A .—1994 .—25 ,№ 7 .—С. 2347—2357 .—Англ.

(16)

С помощью РФА, оптич. микроскопии, измерения ЭДС исследованы фазовые соотношения в системе Mn—Rh—O при 1273 К. Образцы доводили до равновесия либо в откаченной кварц. ампуле, либо в чистом кислороде при давл.  $1,01 \cdot 10^5$  Па. Найдено, что сплавы и интерметаллиды системы Mn—Rh равновесны по отношению к MnO. В системе отмечено образование одного тройного соединения  $MnRh_2O_4$  (I) со структурой шпинели.  $Mn_3O_4$  (II) при т-ре 1273 К имеет тетрагон. структуру. I и II образуют тв. р-ры с кубич. структурой в большом интервале составов и равновесны по отношению к металлич. Rh. Измерено парц. давл. O<sub>2</sub> над двухфазной системой I+II в зави-

X. 1995, N 6

симости от соотношения шпинель:тв. р-р. Предложен новый вариант твердофазной электролитич. ячейки с тремя электродами для изучения кислородного ПТ двухфазной смеси  $Rh + Mn_{3-2x}Rh_{2x}O_4$ , имеющей одну степень свободы при постоянной т-ре. Из данных по ЭДС вычислены термодинамич. функции тв. р-ра I—II и энергия Гиббса образования I. Активности в системе обнаруживают отрицат. отклонение от закона Рауля, кроме области, примыкающей к II. Для р-ции образования шпинели  $MnO + Rh_2O_3$  (ромбич.)  $\rightarrow \underline{MnRh_2O}$  шпинель)  $\Delta G^0 = -49\ 680 + 1,56T$  ( $\pm 500$ ) Дж/моль.

Б. Г. Коршунов

Mn - Rh - O *acmena*

1994

MnRh<sub>2</sub>O<sub>4</sub>  
(spinel)

( $A_f f^0$ )

121: 66793j Phase relations and Gibbs energies in the system Mn-Rh-O. Jacob, K. T.; Sriram, M. V. (Materials Research Center, Indian Inst. Sci., Bangalore, 560 India). *Metall. Mater. Trans. A* 1994, 25A(7), 1347-57 (Eng). Phase relations in the system Mn-Rh-O are established at 1273 K by equilibrating different compns. either in evacuated quartz ampules or in pure oxygen at a pressure of  $1.01 \times 10^5$  Pa. The quenched samples are examd. by optical microscopy, x-ray diffraction, and energy-dispersive x-ray anal. (EDAX). The alloys and intermetallics in the binary Mn-Rh system are in equil. with MnO. There is only one ternary compd., MnRh<sub>2</sub>O<sub>4</sub>, with normal spinel structure in the system. The compd. Mn<sub>3</sub>O<sub>4</sub> has a tetragonal structure at 1273 K. A solid soln. is formed between MnRh<sub>2</sub>O<sub>4</sub> and Mn<sub>3</sub>O<sub>4</sub>. The solid soln. has the cubic structure over a large range of compn. and coexists with metallic rhodium. The partial pressure of oxygen corresponding to this two-phase equil. is measured as a function of the compn. of the spinel solid soln. and temp. A new solid-state cell, with three sep. electrode compartments, is designed to measure accurately the chem. potential of oxygen in the two-phase mixt., Rh + Mn<sub>3-2x</sub>Rh<sub>x</sub>O<sub>4</sub>.

C.A. 1994, 12, N 6

which has 1 degree of freedom at const. temp. From the emf., thermodn. mixing properties of the  $Mn_3O_4$ - $MnRh_2O_4$  solid soln. and Gibbs energy of formation of  $MnRh_2O_4$  are deduced. The activities exhibit neg. deviations from Rauolt's law for most of the compn. range, except near  $Mn_2O_4$ , where a two-phase region exists. In the cubic phase, the entropy of mixing of the two  $Rh^{3+}$  and  $Mn^{3+}$  ions on the octahedral site of the spinel is ideal, and the enthalpy of mixing is pos. and sym. with respect to compn. For the formation of the spinel (sp) from component oxides with rock salt (rs) and orthorhombic structures according to the reaction,  $MnO(rs) + Rh_2O_3(orth) \rightarrow MnRh_2O_4(sp)$ ,  $\Delta G^\circ = -49,680 + 1,56T (\pm 500) \text{ J mol}^{-1}$ . The oxygen potentials corresponding to  $MnO + Mn_3O_4$  and  $Rh + Rh_2O_3$  equil. are obtained from potentiometric measurements in cells with yttria-stabilized zirconia as the solid electrolyte. An oxygen potential diagram for the ternary system is developed.

# Al - Pd - Mn (kf)

2000

134: 74806z High temperature specific heat of Al-Pd-Mn and Al-Cu-Co quasicrystals. Edagawa, K.; Kajiyama, K. (Institute of Industrial Science, The University of Tokyo, Roppongi, Minato-ku, Tokyo, Japan 106-8558). *Mater. Sci. Eng., A* 2000, A294-296, 646-649 (Eng), Elsevier Science S.A. For the purpose of investigating the behavior of thermally excited phasons, sp. heat was measured by differential scanning calorimetry (DSC) for icosahedral Al-Pd-Mn (i-Al-Pd-Mn) in the temp. range from 550 to 1080 K and for decagonal Al-Cu-Co (d-Al-Cu-Co) in the range from 890 to 1070 K. The measured sp. heat per atom at const. pressure  $c_p$ , was converted to that at const. vol.  $c_v$  by use of the data of bulk modulus previously reported and the data of thermal expansion coeff. which we measured by x-ray diffractometry.  $c_v$  of i-Al-Pd-Mn is about three  $k_B$  up to about 700 K, as expected from the Dulong-Petit's law. However, it starts deviating upward from three  $k_B$  at about 700 K, increases dramatically and reaches five  $k_B$  at 1080 K. The Similar behavior has been obsd. also for d-Al-Cu-Co. The origin of such a dramatic increase in  $c_v$  is discussed in light of possible thermal excitation of phasons.

(P)

(f)

C.A. 2001, 134, N6



Al - Cu - Co (R1)

F: Al-Pd-Mn

2000

P: 1

132:169587 Liquid-solid equilibria in the quasicrystalline regions of the Pd-Mn phase diagram.

Klein, Holger; Durand-Charre, Madeleine; Audier, Mar Laboratoire de Thermodynamique et Physico-Chimie Metallurgiques. UMR CNR 5614, ENSEEG Saint Martin d'Heres 38402, Fr. J. Alloys Compd., 296(1-2), 128-137 (English) 2000 Phase equil. were investigated in the Al-Pd-Mn phase diagram in the regi where quasicrystals and approximant phases form. With respect to previou thermodn. studies, the extents of the liquidus phase fields of several approximant phases are either established or precisely detd. Composition profiles across interfaces show the ternary character of the T(AlPdMn)- a .xi.'-phases which are close to the binary Al-Mn and Al-Pd limits resp. relative stability of some of the phases involves small energy difference leading to long transformation times and the solidification of metastable phases.

C.A. 2000, 132.

$\beta$ -Mn<sub>1-x</sub>Os<sub>x</sub>  
Chulab.

Or 40706

2001

(g)

135: 142892x Specific heat and thermal expansion characteristics related to spin fluctuations in antiferromagnetic  $\beta$ -MnOs alloys. Miyakawa, M.; Umetsu, R. Y.; Fukamichi, K. (Department of Materials Science, Graduate School of Engineering, Tohoku University, Sendai, Japan 980-8579). *J. Phys.: Condens. Matter* 2001, 13(17), 3809-3816 (Eng), Institute of Physics Publishing. The temp. dependences of magnetic susceptibility, the sp. heat and the thermal expansion of  $\beta$ -Mn<sub>1-x</sub>Os<sub>x</sub> alloys have been investigated. The electronic sp. heat coeff.  $\gamma$  is significantly large and drastically decreases with increasing x. The sp. heat peak assocd. with the Neel temp.  $T_N$  is clearly obsd. in high Os concn. regions. On the other hand, in low Os concn. regions, the peak is not clear and a linear relation between  $\gamma$  and  $T_N^{3/4}$  is obsd. Therefore, it is concluded that  $\beta$ -Mn<sub>1-x</sub>Os<sub>x</sub> alloys with low x are weak itinerant-electron antiferromagnets. The thermal expansion coeff.  $\alpha$  in the paramagnetic state is remarkably large in the low Os concn. regions and becomes smaller with increasing x; i.e., the larger the electronic sp. heat coeff.  $\gamma$ , the larger the value of  $\alpha$  in the paramagnetic regions.

C.A. 2001, 135, 110

$\beta$ -Mn<sub>1-x</sub>R<sub>x</sub>] On. 40839

2001

Sasao K<sup>+</sup>, Unetsu T. Y.,  
Fukanichi K.,

$\gamma$ -Alloys and Compo-  
unds, 2001, 325, 24-28

Atomic site  preference,

the Néel temperature  
and specific heat of  
 $\beta$ -Mn<sub>1-x</sub>R<sub>x</sub> alloys.